

Ch 4. Indications sur les systèmes dynamiques discrets.

§ 1 - Introduction:

Ici, le temps est discret: il est noté n ou $t \in \mathbb{N}$.

On appelle équation aux différences (ED) ou équation de récurrence une relation du type

$$x_{n+1} = f(n, x_n) \quad \text{ou} \quad x_{t+1} = f(t, x_t) \quad (**)$$

on parle alors d'une ED du premier ordre,

autonome si $f(t, x_t) \equiv f(x_t)$, linéaire

si $f(t, x_t) = a(t)x_t + b(t)$, à coefficients

constants si $a(t) \equiv a$ est constant, sans second

membre (ou homogène) si $b(t) \equiv 0$. De

même, une ED de la forme

$$x_{t+2} + a_1 x_{t+1} + a_2 x_t = f(t) \quad (***)$$

(connue $\forall t$)

est une ED d'ordre 2, linéaire, à coefficients constants, inhomogène si $f(t) \neq 0$. On peut

aussi introduire la notion de SD du premier ordre (système d'équations aux différences, ou système dynamique discret):

$$X_{t+1} = F(X_t), \quad F: \mathbb{R}^2 \rightarrow \mathbb{R}^2, \quad \text{exemple } (***)$$

$$X_{t+1} = AX_t + b, \quad A \text{ matrice (constante) } \dots$$

Le pb à condition initiale consiste à ajouter à l'ED une (ou des) condition(s) initiale(s), e.g. x_0 donné pour $(*)$, (x_0, x_1) données pour $(**)$. Ce pb a une solution unique, donnée par récurrence - La question est: quel est le comportement de x_t quand $t \rightarrow +\infty$?

3 - E.D. non linéaires du premier ordre

Notation: on note le temps discret $n \in \mathbb{N}$ ou $t \in \mathbb{N}$

On considère ici uniquement le cas d'une E.D. autonome:

$$\begin{cases} x_{t+1} = f(x_t), \\ x_0 = x(0) \text{ donné:} \end{cases} \quad \text{condition initiale (C.I.)} \quad (1)$$

le temps discret t n'intervient pas explicitement dans (1)

• Evidemment, la suite $(x_t)_{t \in \mathbb{N}}$ est déterminée de manière unique par (1) et (C.I.). Rem \curvearrowright cette fois, l'ensemble E des suites (x_t) solutions n'est pas en général un e.v. !!

• Exemple 1: le modèle de croissance de Solow (discret)

$$k_t = \frac{1}{1+n} (\rho f(k_t) + (1-\delta)k_t) =: g(k_t), \quad \alpha < 1, \quad 0 < \delta < 1, \quad n > 0$$

f fonction \nearrow et concave \cap | $f(0) = 0, f'(k) \xrightarrow{k \rightarrow 0} +\infty,$
 et $f(k) \xrightarrow{k \rightarrow +\infty} 0$

k : capital par tête,
 $f(k)$: producteur de capital " "
 ρ : propension marginale à économiser
 δ : taux de dépréciation du capital
 n : taux de \nearrow de la population

• Etats d'équilibre: ils correspondent à $k_t = k_e = \text{cte} \Leftrightarrow g(k_e) = k_e$

On étudie la fonction: $g(k) = \frac{1}{1+n} (\rho f(k) + (1-\delta)k)$:

$$g'(k) = \frac{1}{1+n} (\rho f'(k) + 1 - \delta) > 0,$$

$$g''(k) = \frac{1}{1+n} \rho f''(k) < 0. \text{ Ensuite, } g'(k) \rightarrow \begin{cases} +\infty & \text{pour } k \rightarrow 0_+ \\ 1-\delta & \text{" " } k \rightarrow +\infty \end{cases}$$

Donc posons $h(k) =: g(k) - k$. On a:

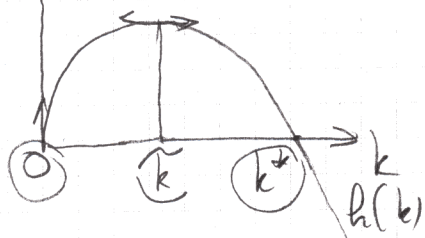
$k \quad | \quad 0 \quad \bar{k} \quad k^* \quad +\infty$

$h''(k)$	-	-	-
$h'(k)$	$\rightarrow 0$	-	-
$h(k)$	0_+	$\rightarrow 0$	-

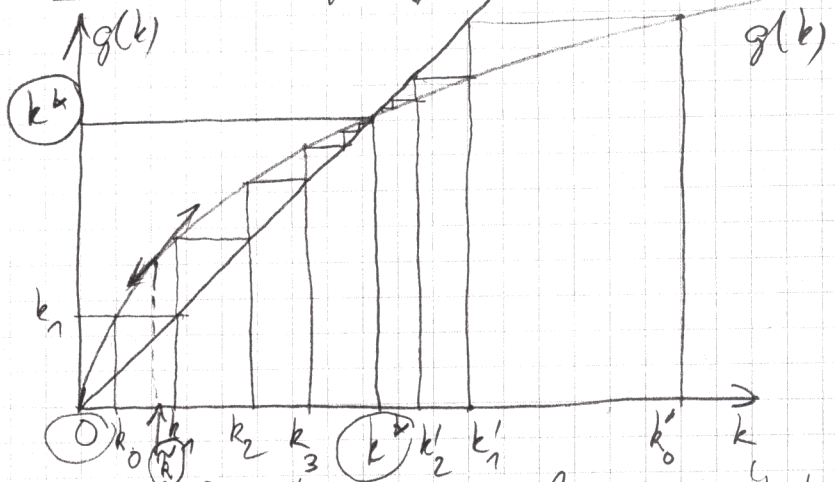
$$h'(k) = \begin{cases} g'(k) - 1 \rightarrow +\infty & (k \rightarrow 0_+) \\ -\delta < 0 & (k \rightarrow +\infty) \end{cases}$$

$$\text{Donc } g(k) = k \text{ si } \begin{cases} k = 0 \text{ ou} \\ k = k^* \end{cases}$$

Graphique de h : \uparrow
 $h(k) = g(k) - k$ \leftarrow



Graphique de g : \downarrow



Donc le graphe de g décrit d'une part les deux états d'équilibre: $k=0$ et $k=k^*$, et d'autre part leur stabilité: $(\forall k_0 \in]0, k^*])$, par récurrence on voit que

$\forall t \in \mathbb{N}$, $0 \leq k_t \leq g(k_t) = k_{t+1} \leq k^*$, donc la suite $(k_t)_{t \in \mathbb{N}}$ est \uparrow et majorée par k^* : elle CV vers l tq $0 < l \leq k^*$, et par continuité de g , $k_{t+1} = (k_t) \rightarrow g(l)$

Donc $l = g(l) > 0$, donc $l = k^*$. ($t \rightarrow +\infty$)

$\forall k_0 \in]0, k^*])$, (k_t) tend en croissant vers k^* quand $t \rightarrow +\infty$.

(ii) de même, $\forall k_0 \geq k^*$, on a:

$\forall t \in \mathbb{N}$, $k^* \leq k_{t+1} = g(k_t) \leq k_t \leq \dots \leq k_0$, donc la suite (k_t) est \downarrow et minorée, donc CV en \downarrow vers une limite $l \geq k^*$, tq $l = g(l)$, donc $l = k^*$:

$\forall k_0 \geq k^*$, (k_t) tend en décroissant vers k^* quand $t \rightarrow +\infty$.

Ceci illustre un cas particulier du Thm de point fixe de Picard:

Thm 9: Soit la suite $x_{t+1} = f(x_t)$ (1).

Supposons qu'il existe un intervalle $I \subset \mathbb{R}$ tel que

(i) $f(I) \subset I$, et
 (ii) $\sup_{t \in I} |f'(t)| \leq c < 1$

Thm 9 (suite) :

Alors

(a) \exists un unique point fixe x de f dans I :

$$\exists x \in I, \text{ unique, tq } x = f(x)$$

(b) $\forall x(0) \in I$, la suite (x_t) obtenue de

$$x_{t+1} = f(x_t)$$

$$x_0 = x(0)$$

reste dans l'intervalle $I \forall t \in \mathbb{N}$, et CV vers x^* quand $t \rightarrow +\infty$: x^* est fortement stable, ou asymptotiquement stable.

Dém. Par récurrence, $\forall x_0 \in I, \forall t \in \mathbb{N}, x_{t+1} = f(x_t) \in f(I) \subset I$

$$\begin{aligned} \text{Ensuite, } \forall t \in \mathbb{N}, |x_{t+1} - x_t| &= |f(x_t) - f(x_{t-1})| \\ &= |f'(\xi_t)(x_t - x_{t-1})|, \end{aligned}$$

avec ξ_t entre x_{t-1} et x_t , donc $\xi_t \in I$. Donc

$$|f'(\xi_t)| \leq c < 1. \text{ Donc}$$

$$\forall t \in \mathbb{N}, |x_{t+1} - x_t| \leq c |x_t - x_{t-1}| \leq \dots \leq (c)^t |x_1 - x_0|$$

Donc la série $\sum_{t=0}^{+\infty} (x_{t+1} - x_t)$ CV comme la série géométrique c^t , avec $|c| < 1$. Sa limite est

$$x^* - x_0 = \lim_{n \rightarrow +\infty} \sum_{t=0}^{n-1} (x_{t+1} - x_t) = \lim_{n \rightarrow +\infty} (x_n - x_0),$$

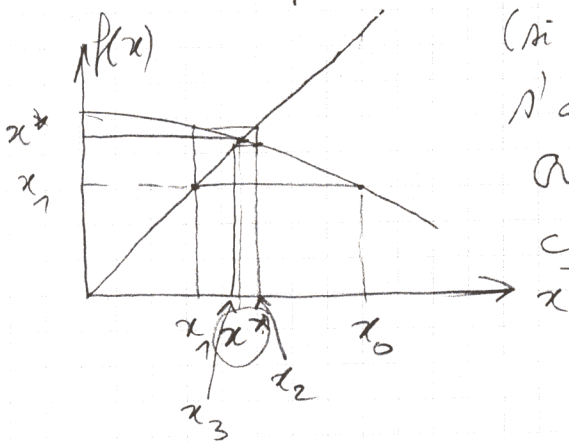
donc $x_n \xrightarrow{(n \rightarrow +\infty)} x^*$, et de même $x_{n+1} = f(x_n) \xrightarrow{(n \rightarrow +\infty)} f(x^*) = x^*$

donc x^* est un point fixe, et c'est le seul car s'il en existait un autre : x_* , on aurait $|f(x^*) - f(x_*)| = |x^* - x_*| \leq c |x^* - x_*|$,

$$\text{donc } x^* - x_* = 0 : x^* = x_*. \quad \square \quad \underline{0 < c < 1}$$

Rem. Dans l'exemple 1, le thm s'applique avec $I = [\tilde{k}, +\infty[$. On vérifie cependant directement que si on part de $k_0 \in]0, \tilde{k}]$, au bout d'un nombre fini p de fois, on aura : $\forall n \geq p, k_n \geq \tilde{k}. \quad \square$

Rem. Dans le cas où f vérifie les hypothèses du thm, avec $f \searrow$ sur I , on a la figure ci-contre



(si $x_0 > x^*$): dans ce cas, le thm 1 s'applique avec $I = [x_1, x_0]$
On a alors une figure du type cobweb (toile d'araignée). \square

Exemple 2: L'équation logistique (indicatives)

$$x_{t+1} = f(x) := a x(1-x), \quad a > 0, \quad \text{avec } x_0 \in [0, 1]$$

On étudie la fonction $f: x \mapsto a x(1-x)$

x	0	$1/2$	1
$f'(x)$	+	0	-
$f(x)$	0	$\rightarrow a/4$	$\rightarrow 0$

Alors l'intervalle

$I := [0, 1]$ est invariant par f si $0 \leq a \leq 4$.

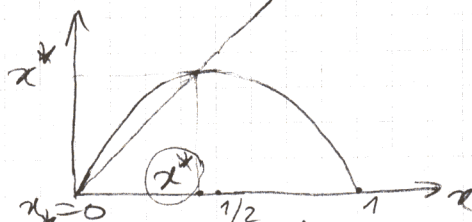
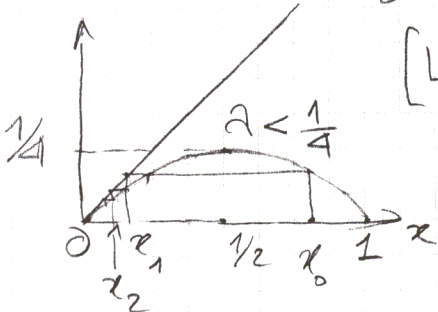
Dans ce cas $\sup_{x \in [0, 1]} |f'(x)| = |f'(0)| = |f'(1)| = a$

a) Premier cas: $0 < a < 1$, alors $f(I) \subset I$ et $\sup_{x \in I} |f'(x)| = a < 1$

donc f admet un unique point fixe $x^* \in [0, 1]: x^* = 0$
et $\forall x_0 \in [0, 1]$, la suite (x_t) CV en \searrow vers $x^* = 0$:
 $x^* = 0$ est un équilibre stable

[La situation est la même pour $a = 1$].

CV monotone



b) Deuxième cas: $1 < a < 3$. Alors f admet deux points fixes sur $[0, 1]: x_* = 0$ et x^* solution de $x^* = a x^*(1-x^*)$

$$\Leftrightarrow x^*(1 - a(1-x^*)) = 0, \quad x^* \neq 0 \Leftrightarrow x^* = \frac{a-1}{a} \in]0, 1[$$

D'abord, 0 devient instable. Étudions la stabilité de $x^* > 0$

Étudions f' dans ce cas: $\sup_{x \in [0,1]} |f'(x)| = |f'(0)| = |f'(1)| = 2 \in]1,3[$

donc on ne peut pas appliquer

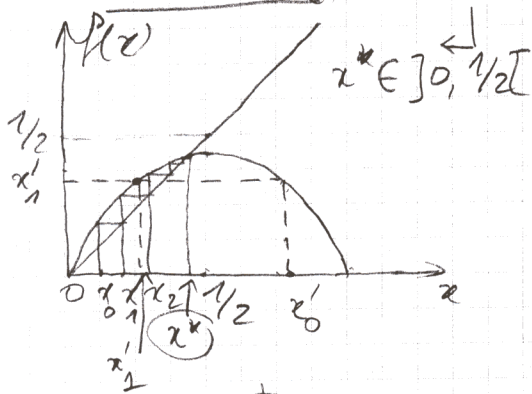
le thm 1 à $I = [0,1]$. Par contre, calculons

$$|f'(x_0)| = |2(1-2x_0)| = |2(1 - \frac{2(a-1)}{a})| = \frac{2}{a} |(2-a)| = |2-a| < 1.$$

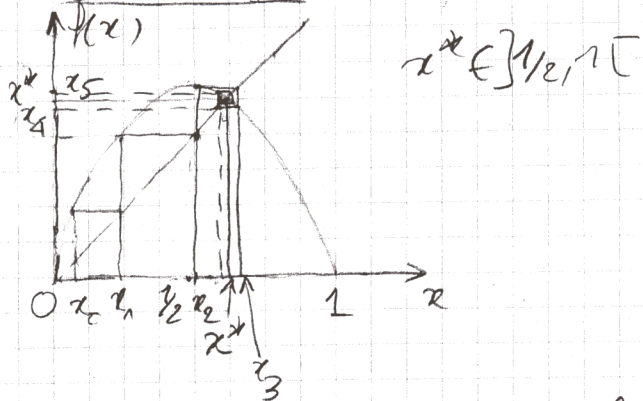
Donc on peut appliquer le thm sur un voisinage de x^* .

Illustration: cas: $1 < a < 3$

Sous-cas (i): $1 < a < 2$; sous-cas (ii): $2 < a < 3$



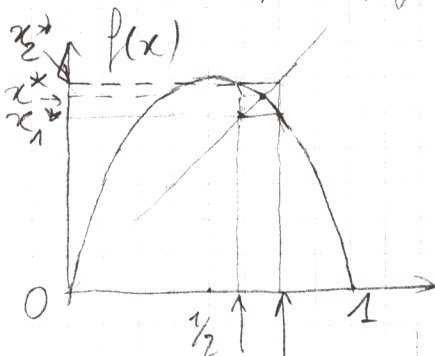
CV monotone
(au moins à partir
d'un certain rang)



CV oscillatoire: exemple: ici
la suite $(x_{2p}) \rightarrow x^*$ ($p \rightarrow +\infty$)
et la suite $(x_{2p+1}) \rightarrow x^*$ (" "
au moins à partir d'un
certain rang.

c) Cas 3: exemple de dynamique complexe: $a \in]3,4[$

À partir d'une valeur critique $a_1 \approx 3.2$, on a (au moins) la figure suivante (cf cascade de Feigenbaum):

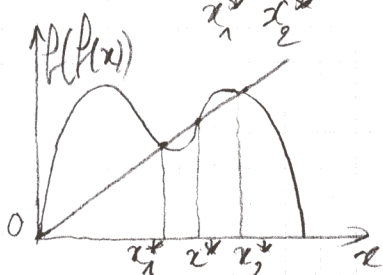


$$f(x_1^*) = x_2^* \text{ et } f(x_2^*) = x_1^*$$

[noter que $|f'(x^*)| > 1$].

Alors la suite $(x_{2p}) \rightarrow x_1^*$ (e.g.) et $x_{2p+1} \rightarrow x_2^*$
(ou l'inverse).

Le graphe de $f \circ f: x \mapsto f(f(x))$ est alors:
 $f \circ f$ a 4 points fixes dans $[0,1]$, dont
deux stables (localement): x_1^* et x_2^* . Pour une
valeur critique $a_2 > a_1$, $(f \circ f) \circ (f \circ f)$ a 8 points
fixes, dont 4 localement stables, etc....



72. Idees sur les ED (equations aux differences) lineaires du second ordre :

On considere l'ED. du second ordre, lineaire :

$$x_{t+2} + a_1 x_{t+1} + a_2 x_t = f(t), \forall t \in \mathbb{N}. \quad (2)$$

Clairement, l'ensemble des suites $(x_t)_{t \in \mathbb{N}}$ solutions de (2) est un sous-espace vectoriel de l'e.v. des suites numeriques $(x_t)_{t \in \mathbb{N}}$, et cet ensemble E est de dimension 2, car il suffit de deux conditions initiales (C.I.)

$$(x_0, x_1) \text{ donnees} \quad (3)$$

pour determiner toute suite (x_t) solution de (2) — ou de (2) — et de (3), par recurrence.

On cherche (encore) des suites $(y_t)_{t \in \mathbb{N}} = r^t$ solutions de (2). On obtient l'equation caracteristique en reportant $y_t = r^t$ dans (2) :

$$r^t (r^2 + a_1 r + a_0) = 0, \text{ d'o\u00f9 } \neq 0 \quad \boxed{r^2 + a_1 r + a_0 = 0} \quad (EC)$$

Si (EC) a deux racines $\neq r_1, r_2 \in \mathbb{R}$ ou \mathbb{C} , on obtient encore la SG (solution generale) de l'eq. homogene (2) :

$$y_t = \alpha (r_1)^t + \beta (r_2)^t, \quad \alpha, \beta \in \mathbb{R} \text{ (ou } \mathbb{C})$$

avec l'autre ecriture : $y_t = |r_1|^t (A \cos(\omega t) + B \sin(\omega t))$

si $r_1 = r_2$, et $\omega = \text{argument de } (r_1, r_2)$.
 $\Leftrightarrow y_t = C |r_1|^t \cos(\omega t - \theta_0)$
 $\Delta t \in \mathbb{N}, \quad \boxed{\text{racine double}}$

et on obtient $y_t = (r)^t (\alpha t + \beta)$ si $r_1 = r_2 = r$.
 Δ la stabilite asymptotique equivalent au equivalent pu $a = |r_1| \text{ et } |r_2| < 1$ quand $t \rightarrow +\infty$